

Figura 1

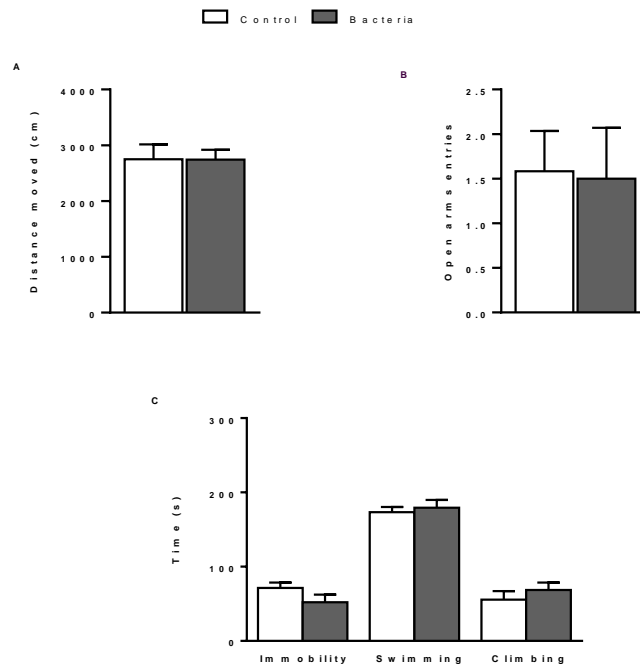


Figura 1. Efecto comportamental en el CA (A), plus-maze (B) y TNF (C).

Figura 2

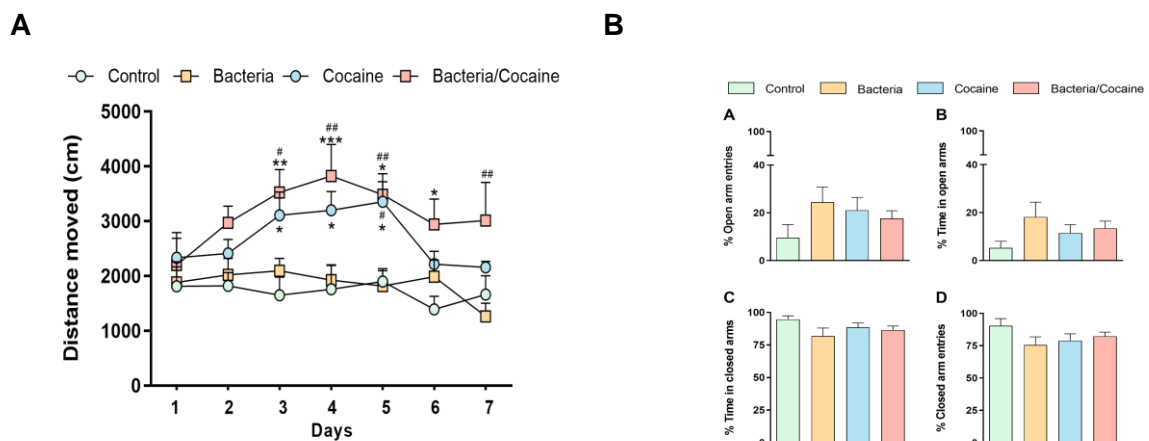


Figura 2. Actividad locomotora evaluada en el CA (A) y evaluación de ansiedad experimental (B) a través del número de entradas y tiempo de permanencia en el BA y BC en el plus-maze.

Figura 3

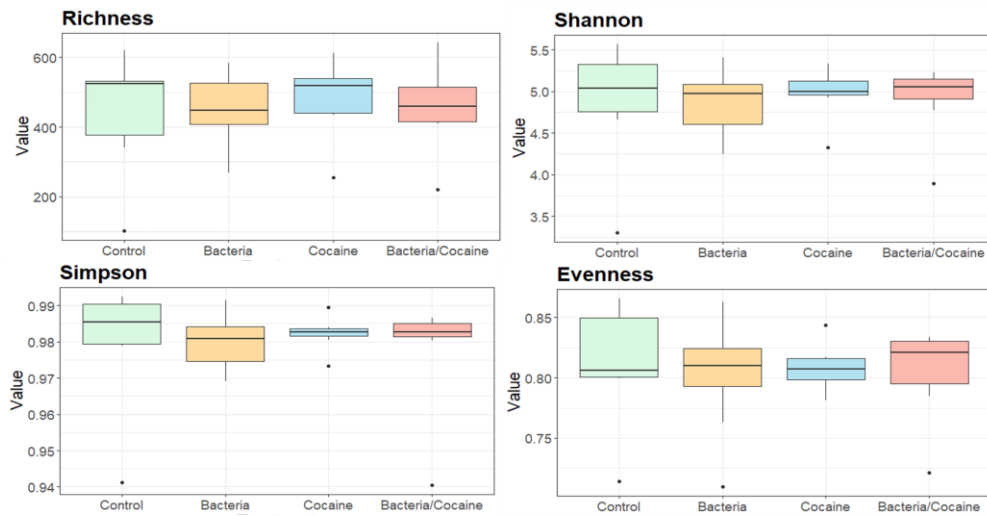


Figura 3. Índices de diversidad alfa (diversidad de grupos taxonómicos dentro de cada muestra o comunidad) de la microbiota intestinal de rata. Los diagramas de caja muestran las medias, los rangos y los valores atípicos de cada índice de diversidad alfa, y la comparación entre los tratamientos calculados para las comunidades bacterianas obtenidas de las heces (Prueba de Kruskal-Wallis).

Tabla 1

T28	Control	Bacterias	Cocaína
Control		N.S	N.S
Bacterias	N.S		N.S
Cocaína	N.S	N.S	
Bacterias/Cocaína	0.040*	0.038*	0.052

Tabla 1. Análisis de diversidad beta (evalúa cambios entre diferentes comunidades). Comparación de tratamientos usando PERMANOVA basado en distancias Bray-Curtis el día 28 (T28). *= $P < 0.05$. N.S = no significativo.

Figura 4

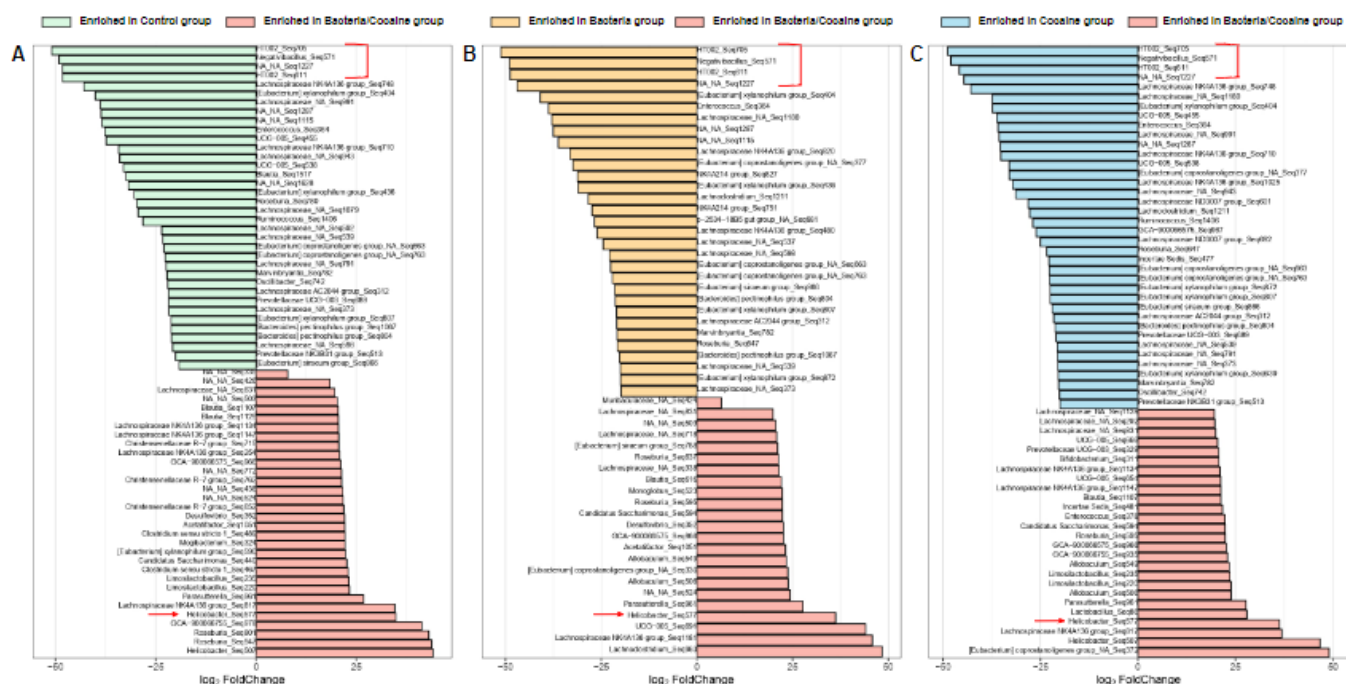


Figura 4. Abundancias diferenciales de las variantes de secuencia de amplicones (ASV) calculadas con el paquete *{DESeq}* comparando el grupo Bacteria/Cocaína con el grupo Control (A), Bacteria (B) y Cocaína (C). Un valor positivo de \log_2 FoldChange significa que la ASV es significativamente más abundante en el grupo Bacteria/Cocaína en comparación con los otros grupos, y viceversa. Los paréntesis rectos rojos indican la disminución de las ASV bacterianas compartidas entre los tres tratamientos en comparación con el grupo Bacteria/Cocaína. Las flechas rojas muestran una ASV aumentado en el grupo Bacteria/Cocaína en comparación con los otros grupos.

Figura 5

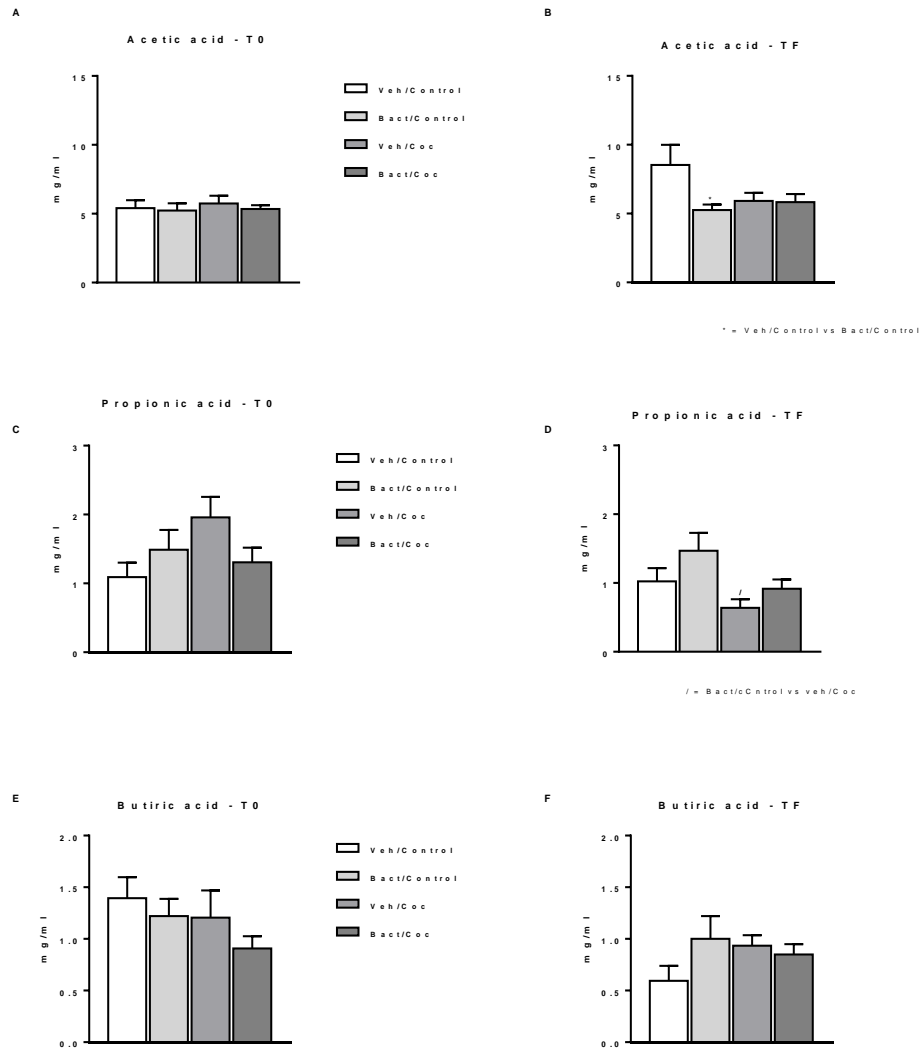


Figura 5 A-F. Niveles de AGCC en fecas analizados en fecas a tiempo 0 (T0) y a tiempo final (TF, día 28)

Figura 6

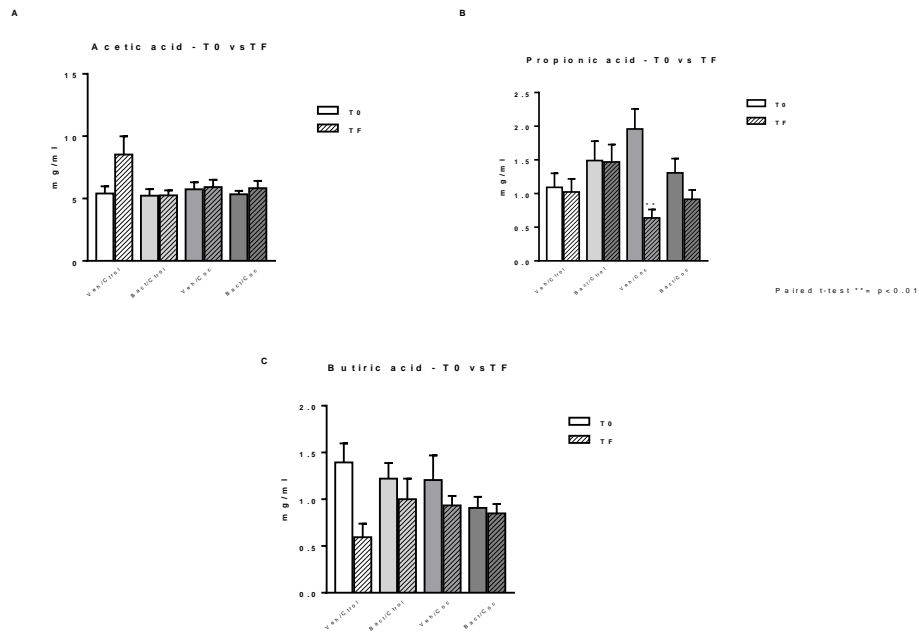


Figura 6 A-C. Comparación entre tiempo 0 y tiempo final para cada uno de los AGCC.

Figura 7

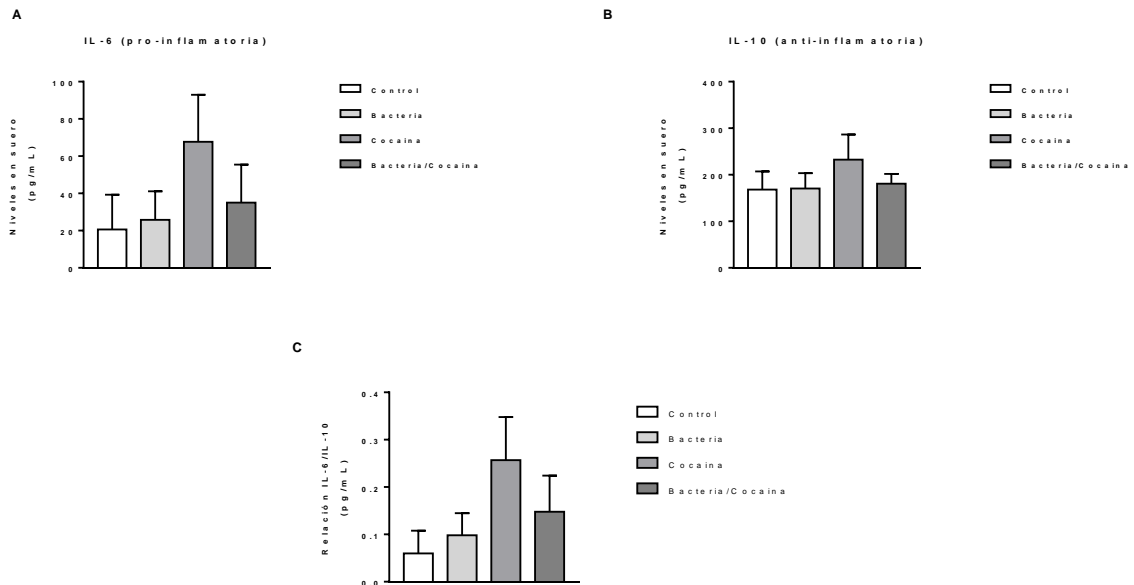


Figura 7 A-C. Niveles plasmáticos de citoquinas IL-6 e IL-10 para cada tratamiento.

Figura 8

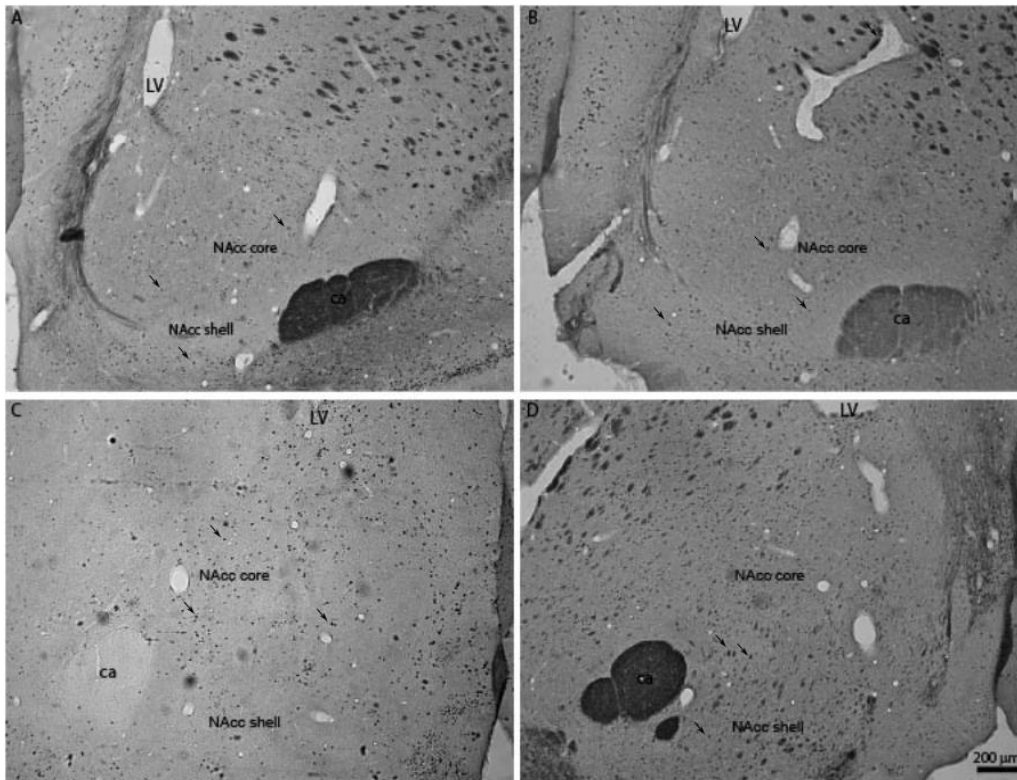


Figura 8: Imágenes representativas de una inmunohistoquímica anti-Fos de cortes coronales a la altura del Núcleo accumbens en la coordenada antero-posterior 2.2 respecto a Bregma de acuerdo al atlas de Paxinos y Watson (2005). La barra de calibración indica una foto panorámica de las regiones (200 µm). Las flechas muestran la marca específica para Fos.

A: vehículo-control; B: bacteria-control; C: vehículo-cocaína; D: bacteria-cocaína. Abreviaciones: ca: comisura anterior; LV: ventrículo lateral; NAcc: Núcleo accumbens.

Figura 9

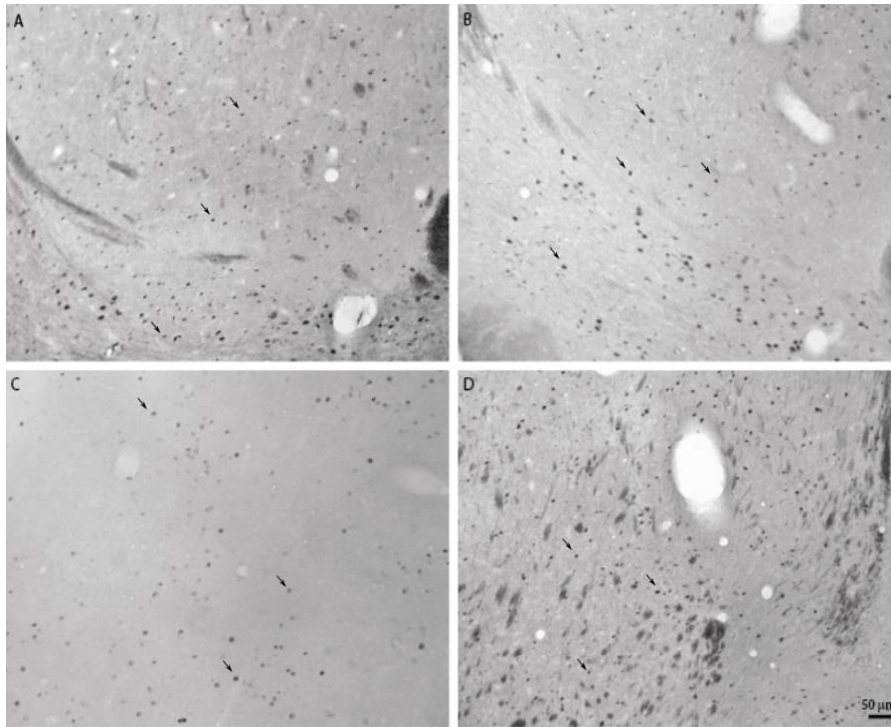


Figura 9: *Inmunohistoquímica anti-Fos en cortes coronales a la altura de la región del Núcleo accumbens shell. La barra de calibración indica una foto a mayor aumento de las regiones (50 μm). Las flechas muestran la marca específica para Fos. A: vehículo-control; B: bacteria-control; C: vehículo-cocaína; D: bacteria-cocaína.*

Figura 10

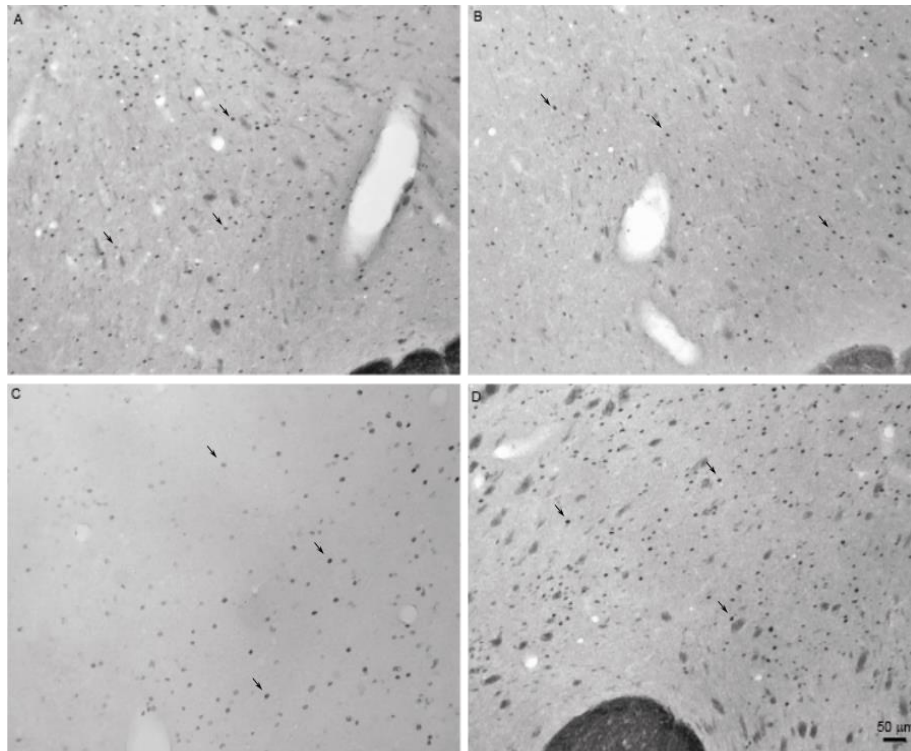


Figura 10: Inmunohistoquímica anti-Fos en de cortes coronales a la altura de la región del Núcleo accumbens core. La barra de calibración indica una foto a mayor aumento de las regiones (50 µm). A: vehículo-control; B: bacteria-control; C: vehículo-cocaína; D: bacteria-cocaína.